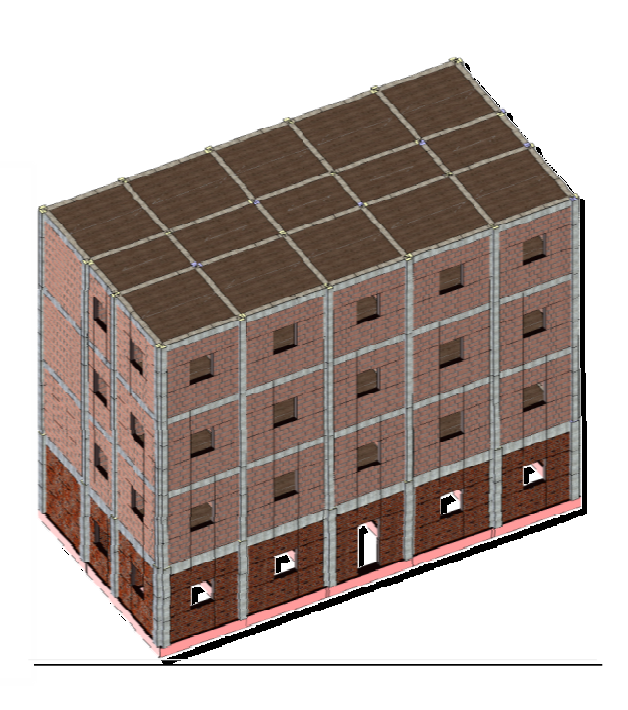






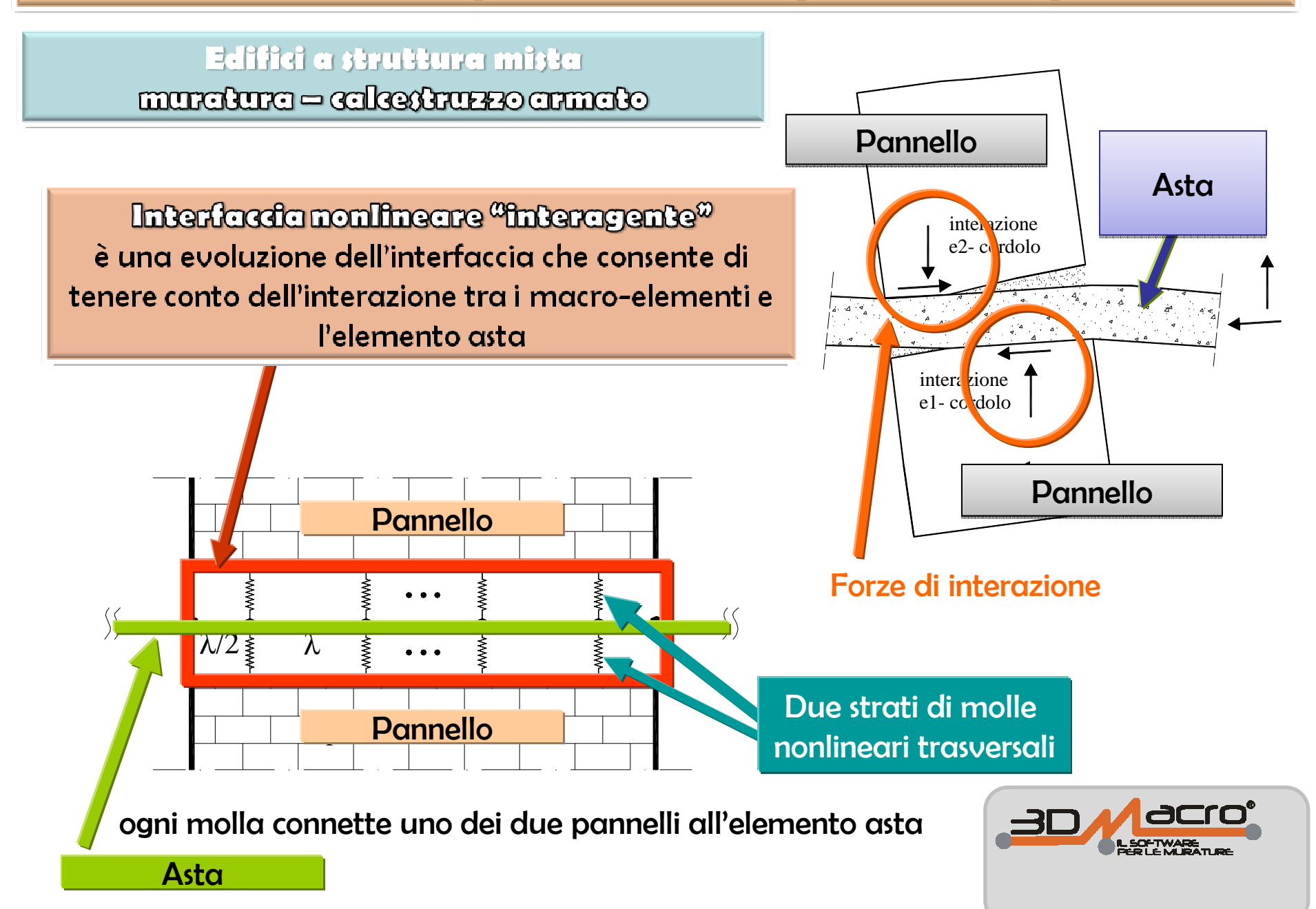


Strutture miste Muratura Calcestruzzo Armato



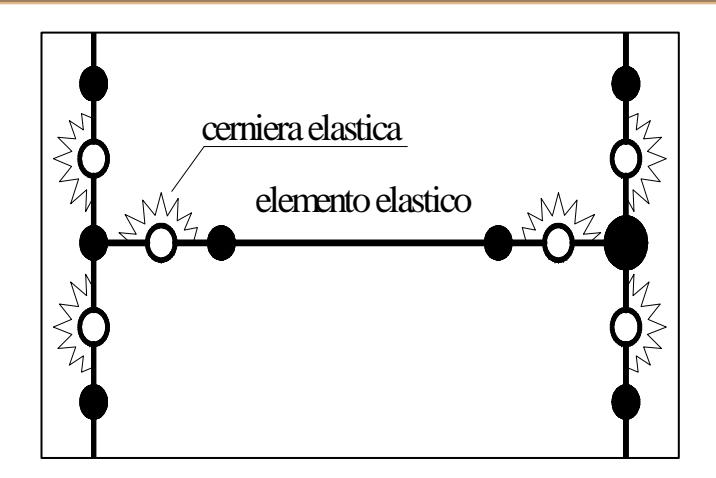


Il macro-elemento per lo studio del comportamento nel piano

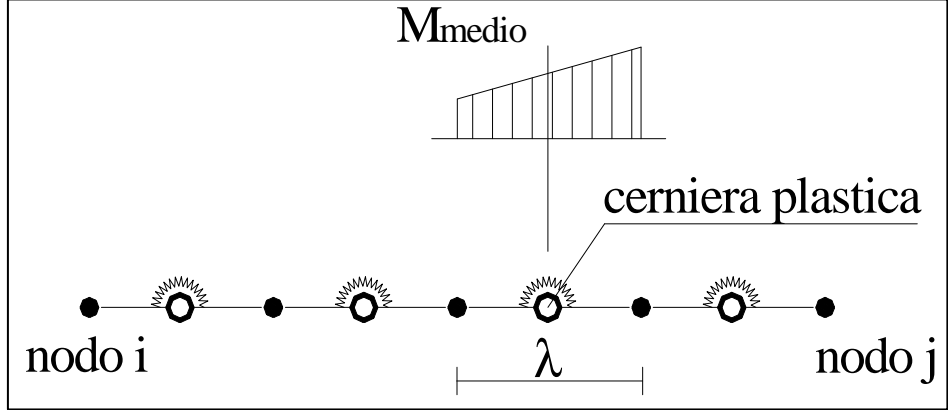


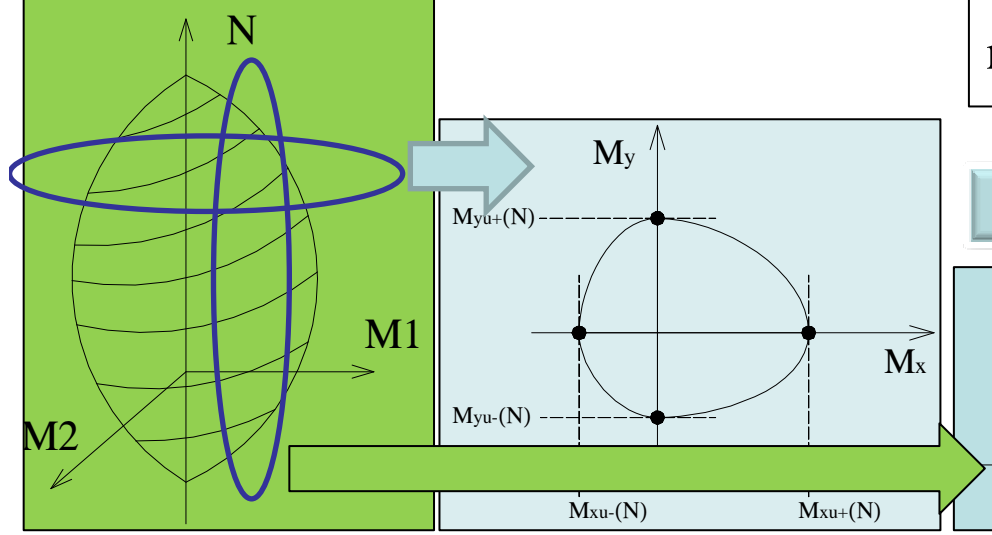
Flessione plastica in EDMacro

Modello a plassidisà concentrates cerniere plassidhe

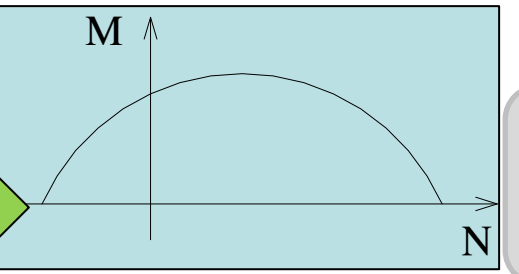


Modellazione frame in 3DMacro
Le sezioni aritiale sono distribuite
lungo tutto il frame



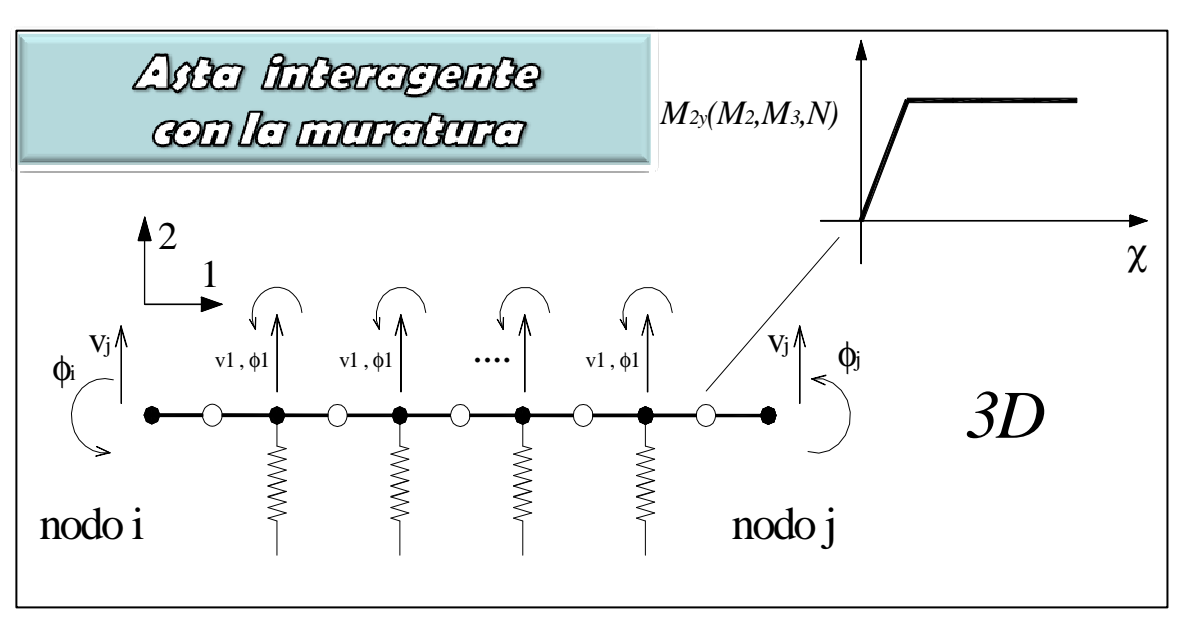


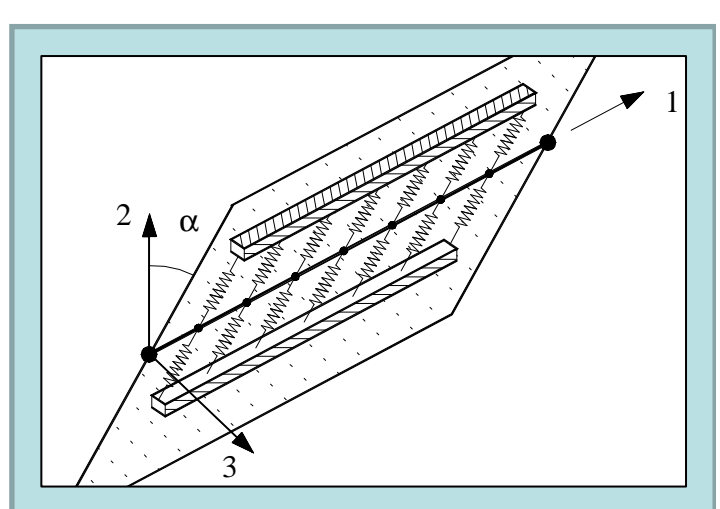
Dominio di mervamento

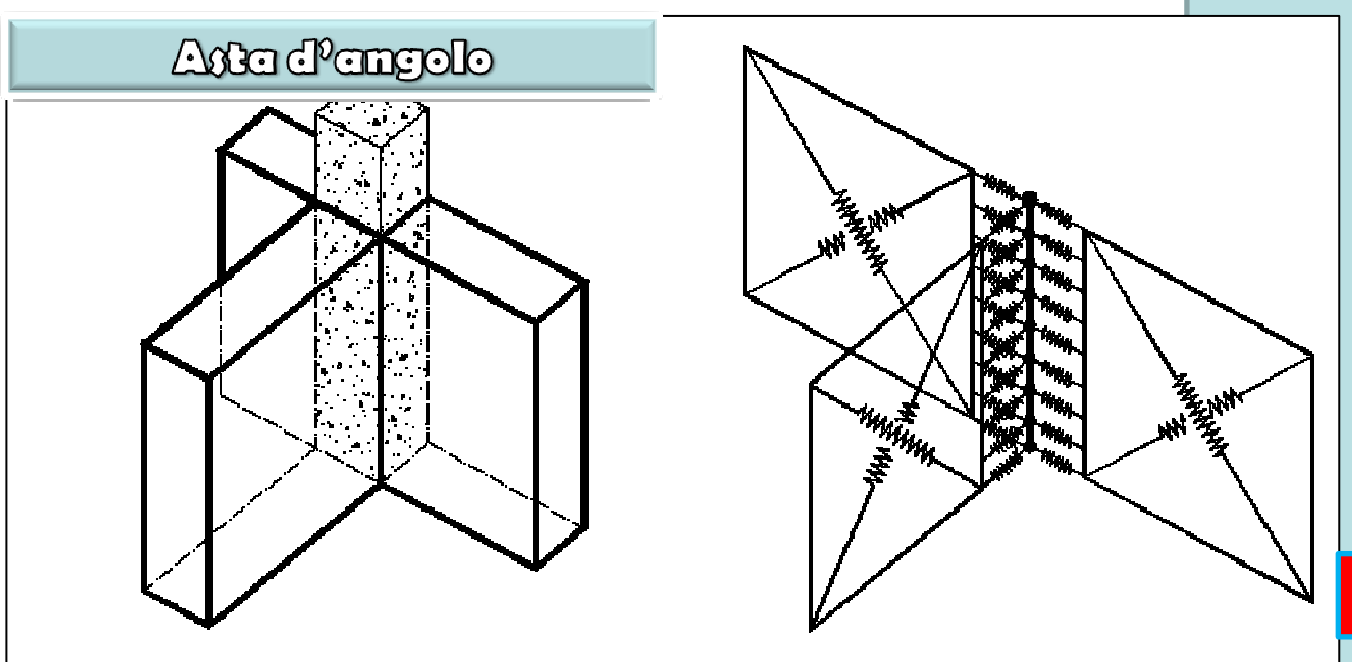


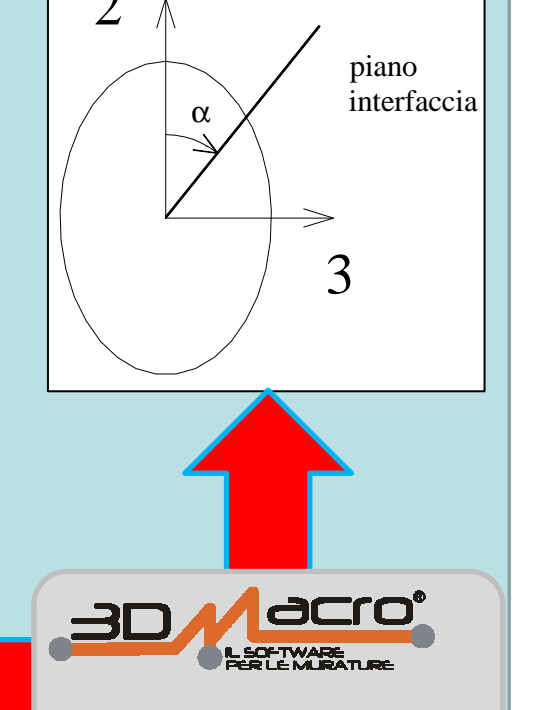


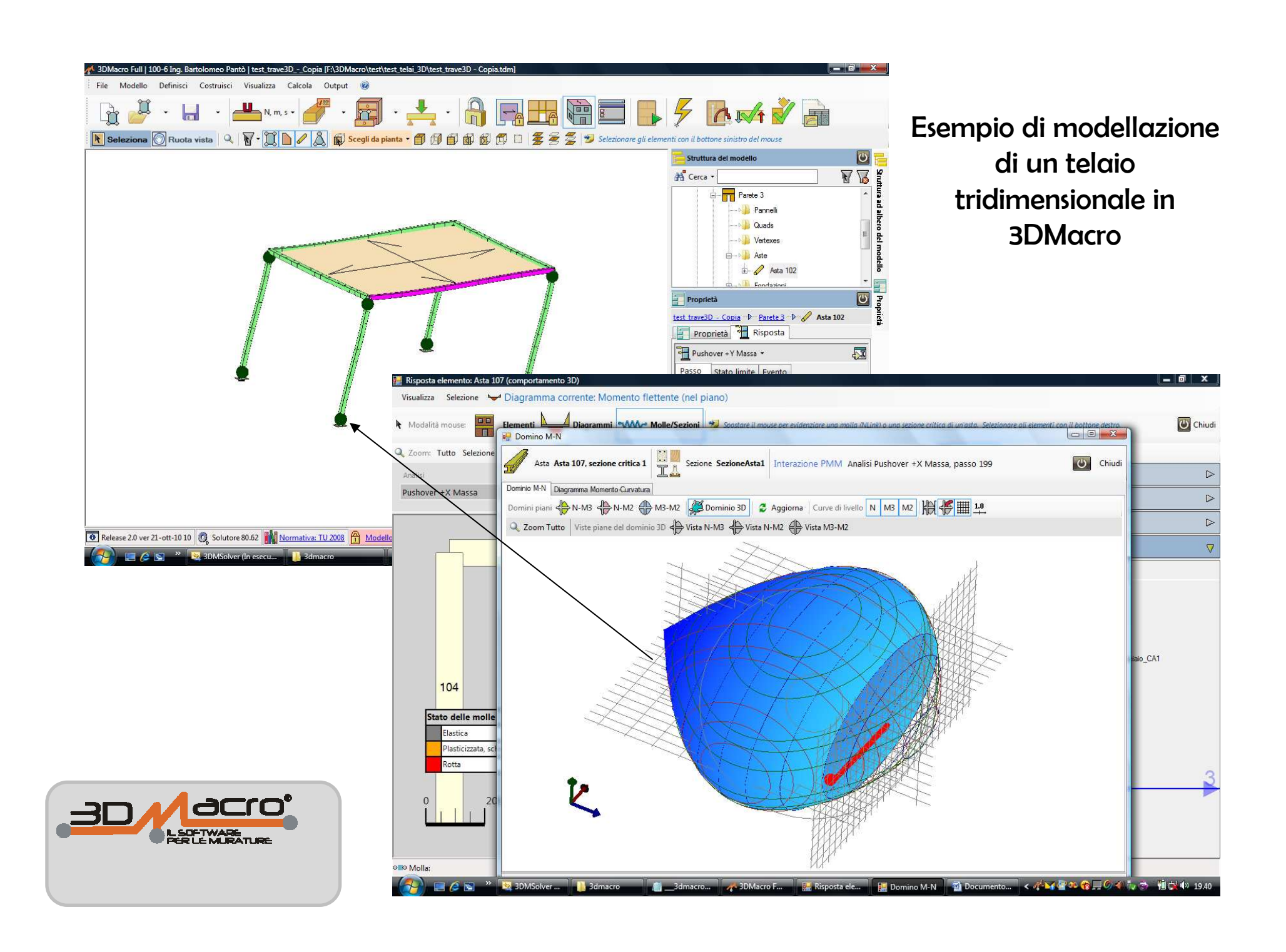
Flessione plastica in EDMacro

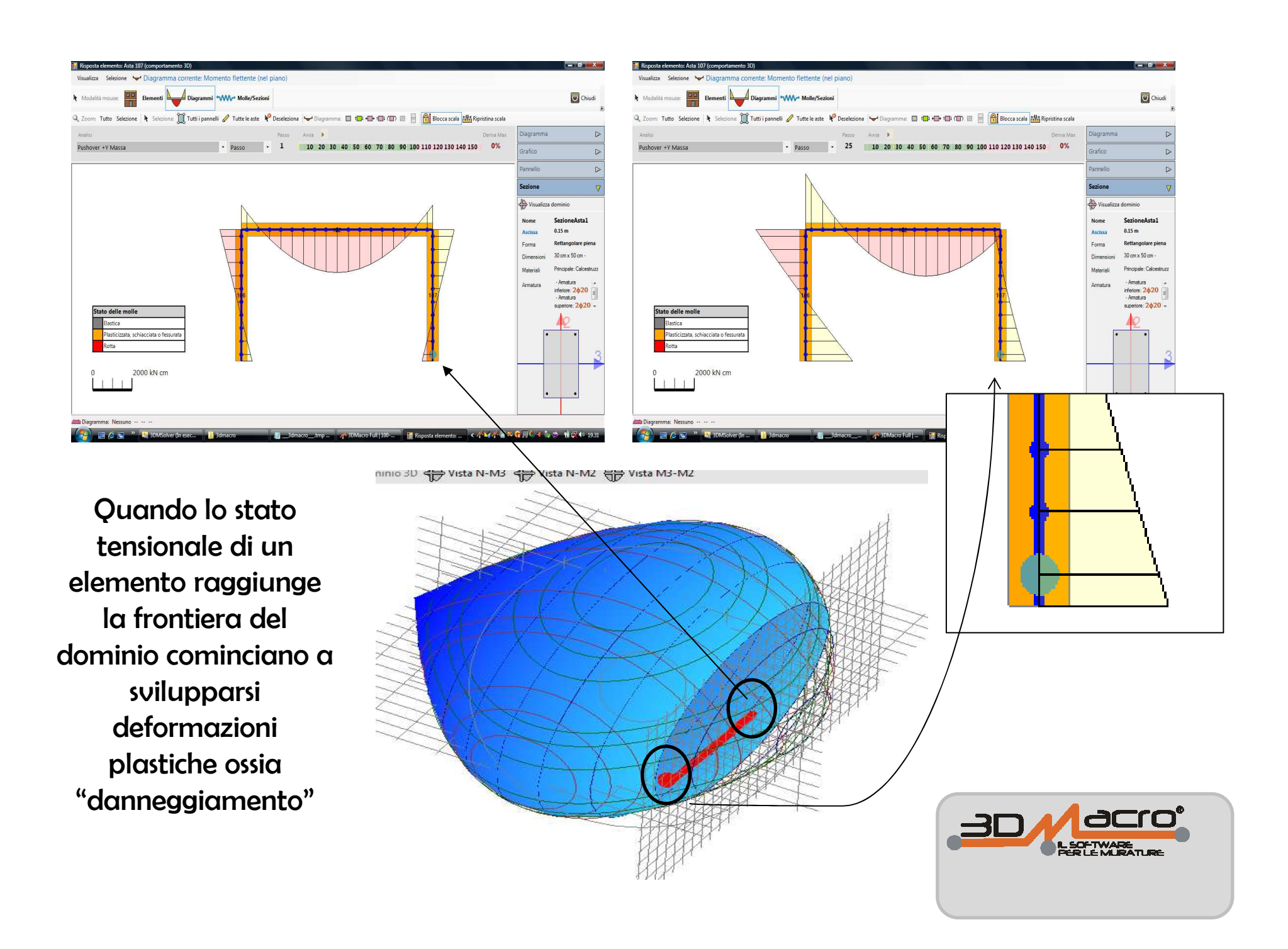




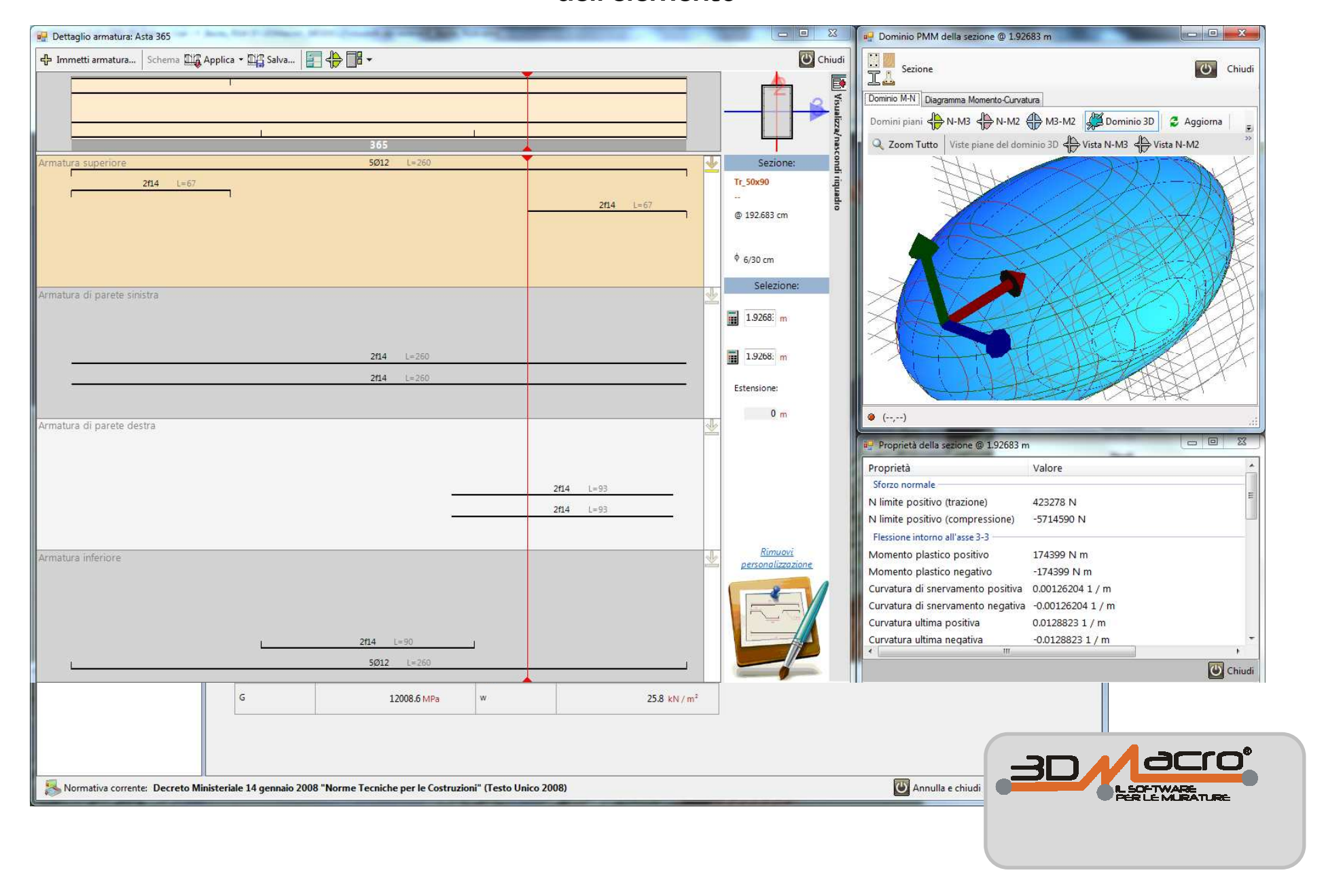




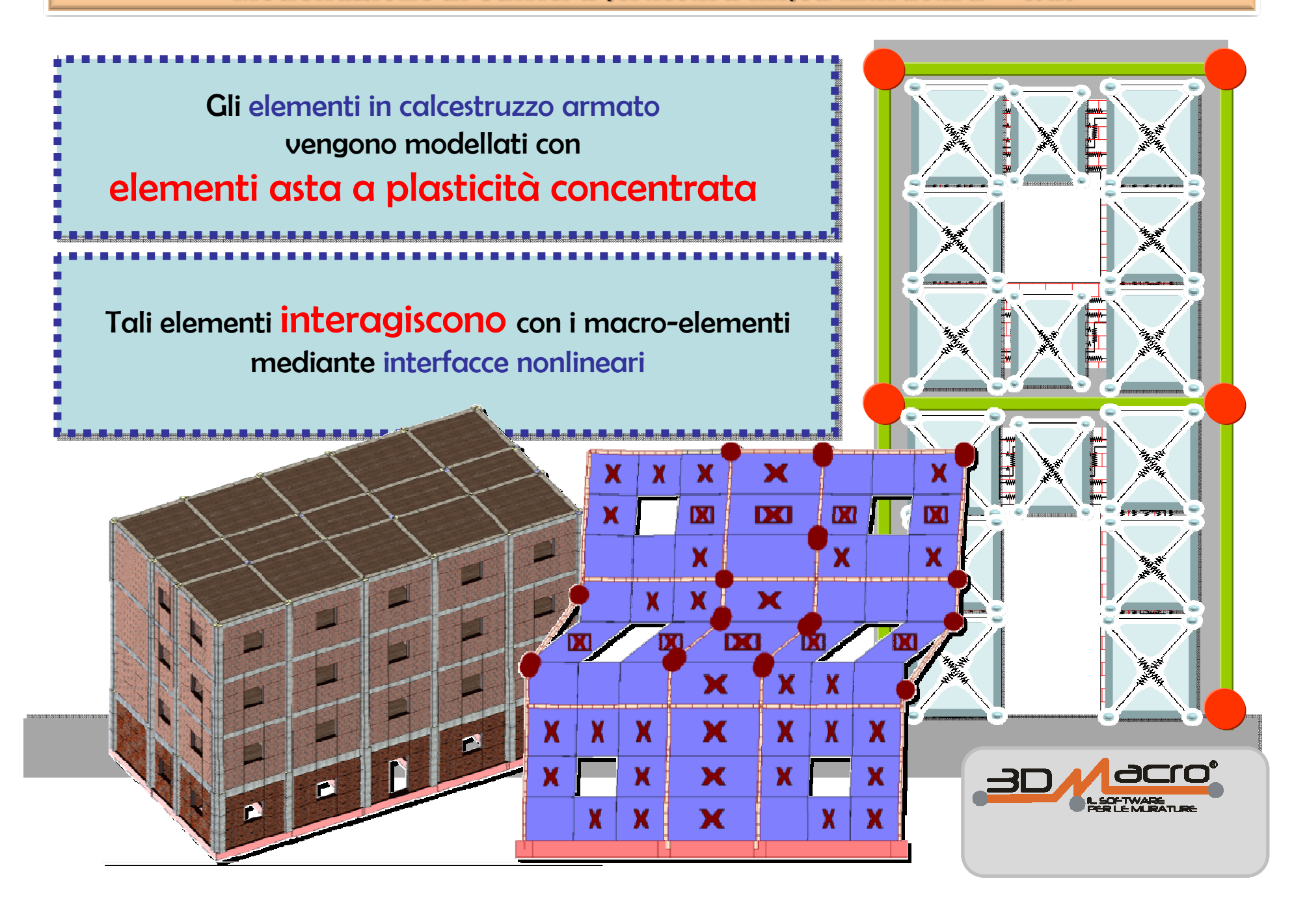




L'armatura longitudinale e a taglio può essere personalizzata lungo tutto lo sviluppo dell'elemento



Modellazione di edifici a struttura mista muratura – c.a.

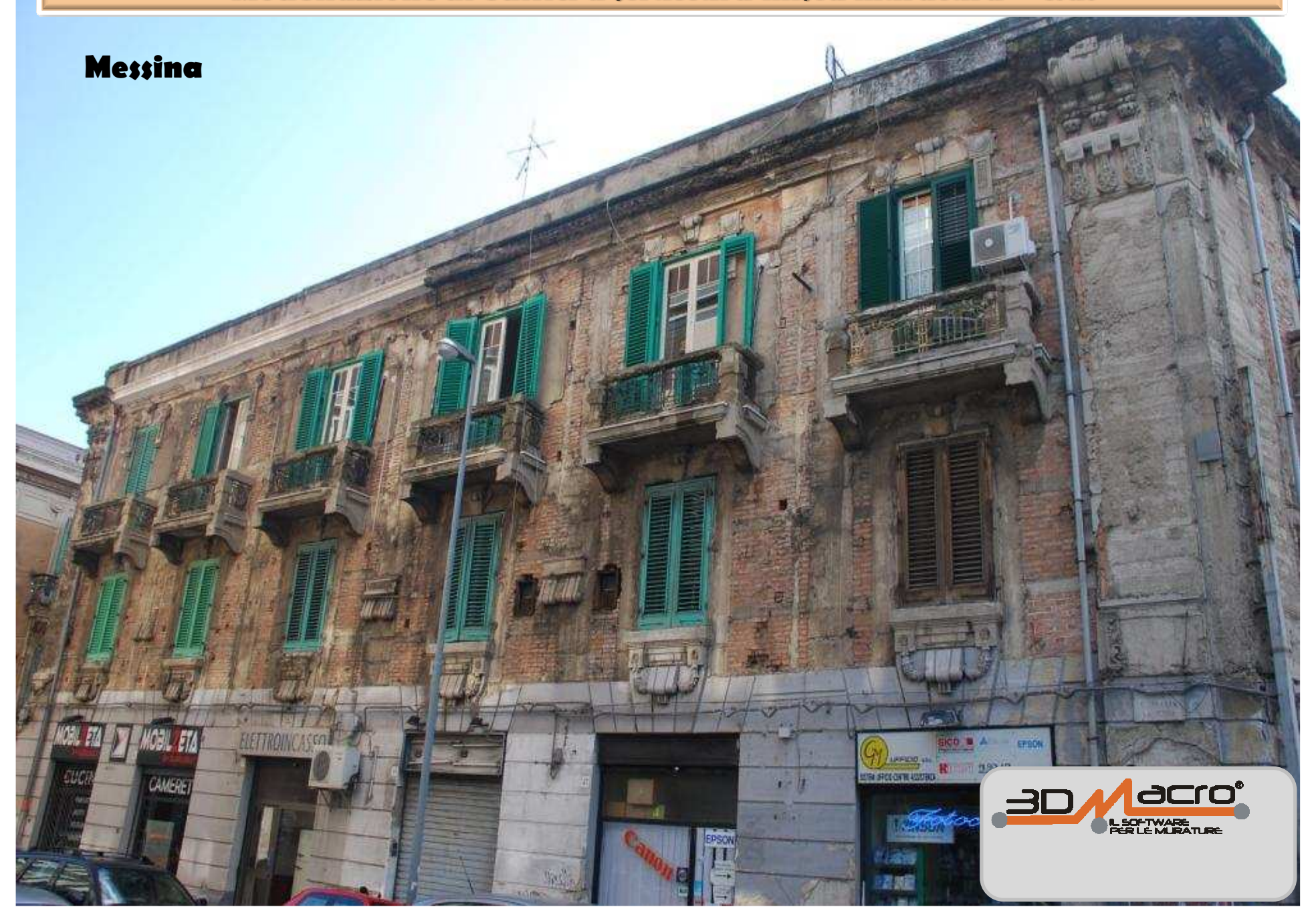


Modellazione di edifici a struttura mista muratura – c.a. X \mathbf{m} X X Ж X Apertura di cerniere plastiche X nelle aste X X X X Fessurazione a taglio della muratura Distacco tra elementi in c.a. e murature

Modellazione di edifici a struttura mista muratura – c.a.



Modellazione di edifici a struttura mista muratura – coa

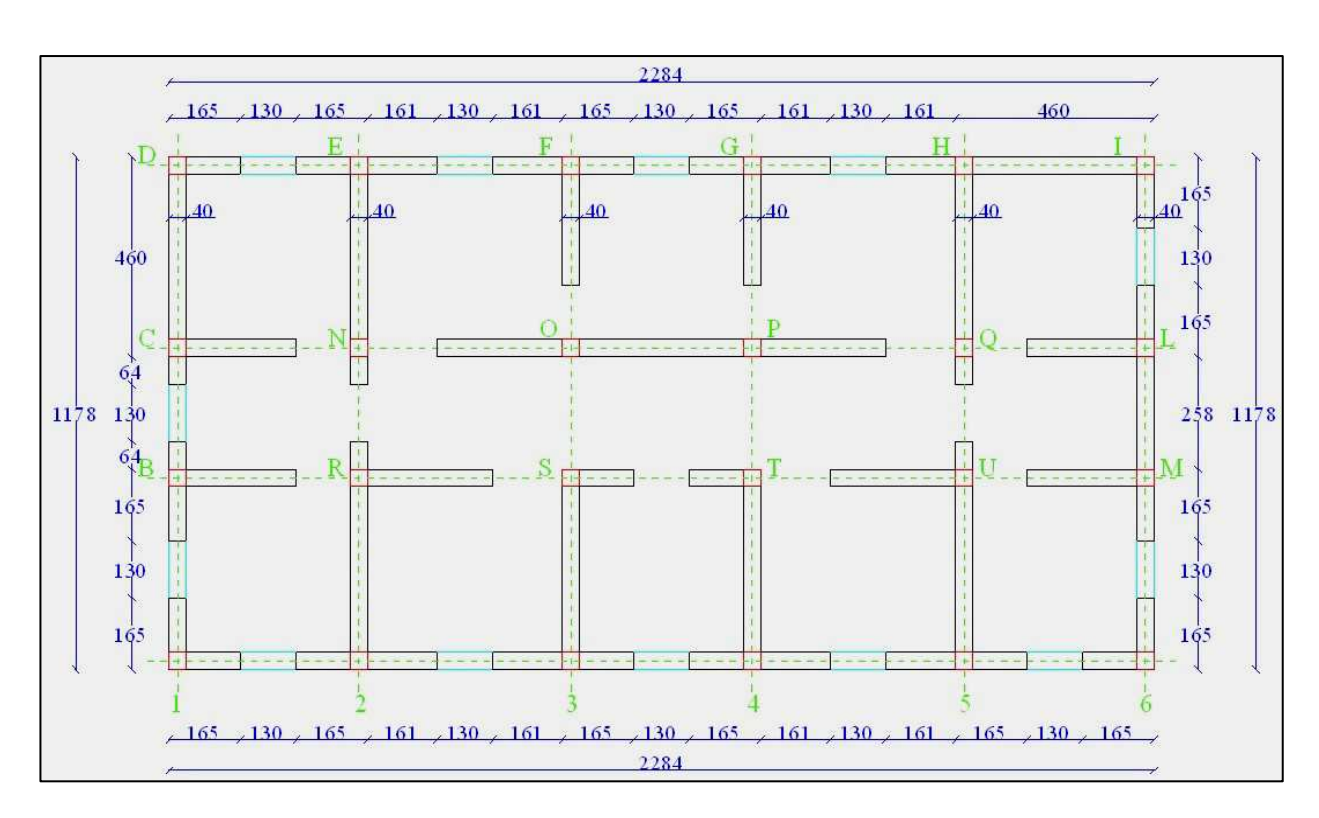


Il caso di studio

La procedura proposta è stata utilizzata per la stima della resistenza sismica di un sistema strutturale misto muratura-cemento armato, individuato come caso di studio, rappresentativo di un'ampia classe di edifici bassi per civile abitazione costruiti nelle città di Messina e Reggio Calabria subito dopo il terremoto del 1908



Il caso di studio







Due elevazioni (quote solai: 4.12 m e 8.02 m) **Pianta rettangolare** (dimensioni: 22.84 m x 11.78 m)

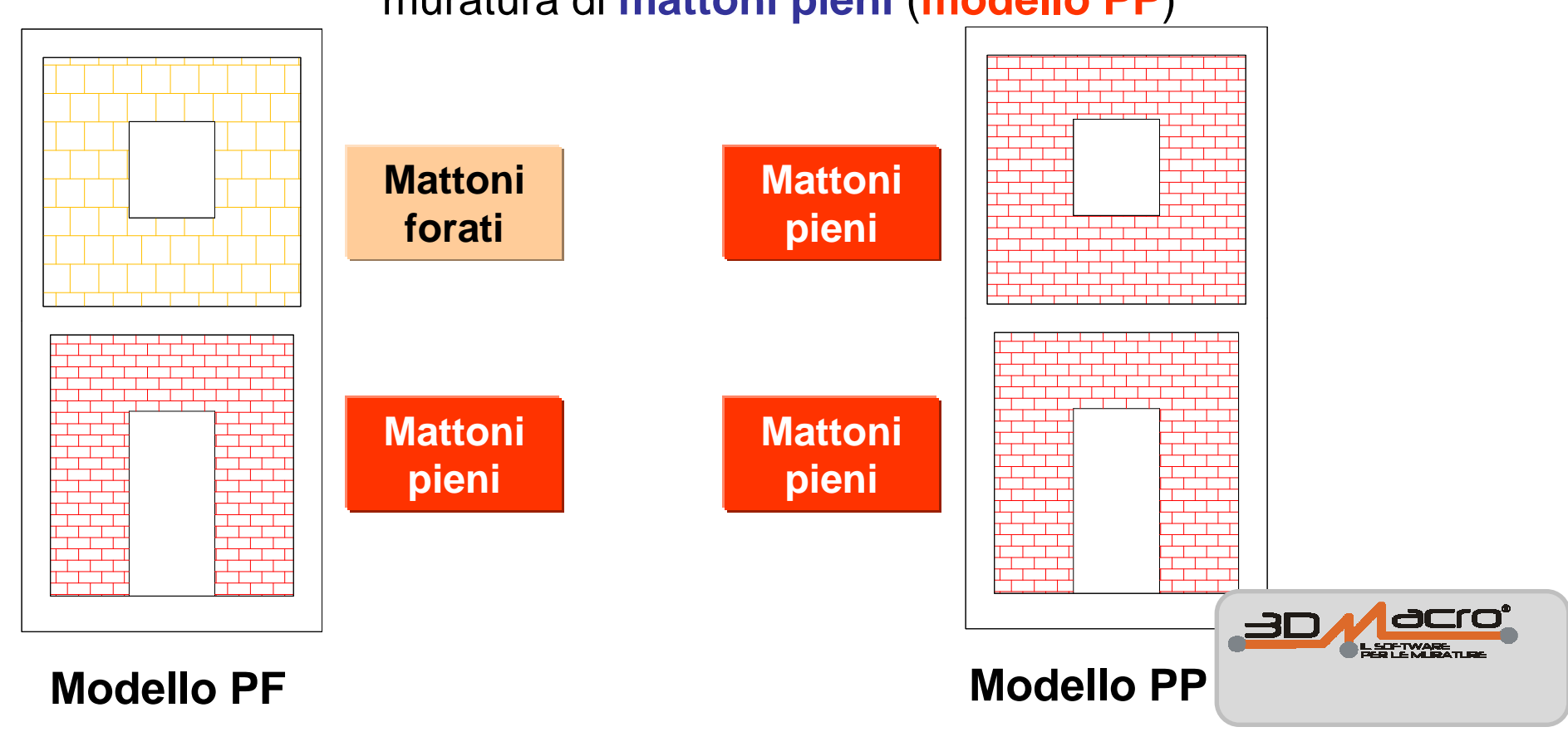
La tipologia strutturale è quella tipica degli edifici in struttura mista muratura-calcestruzzo armato (muratura intelaiata) prevista dalle norme sismiche emanate dopo il terremoto di Messina e Reggio Calabria del 1908



I modelli considerati nelle analisi

Sono stati considerati due modelli:

- un modello in cui è stata considerata una muratura di mattoni pieni al piano terra e di mattoni forati al piano primo (modello PF)
 - un modello in cui è stata considerata in entrambe le elevazioni una muratura di mattoni pieni (modello PP)



Proprietà meccaniche dei materiali

La muratura è stata modellata mediante un legame elasto-perfettamente plastico a flessione ed elasto-plastico con snervamento alla Coulomb a taglio.

In entrambi i casi vengono previsti dei limiti nelle deformazioni.

Viene inoltre considerato un legame **elastico - perfettamente plastico** per le **barre di armatura** e un legame **elasto-plastico** con limitata resistenza a trazione e limite nelle deformazioni a compressione per il **calcestruzzo**.

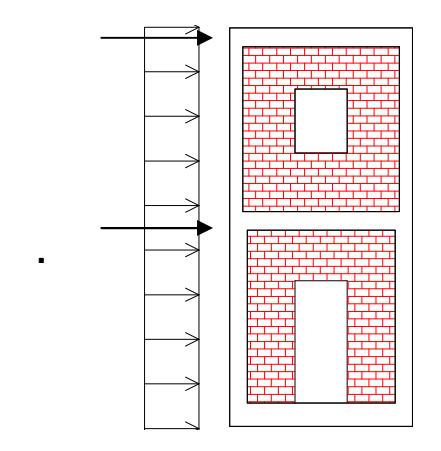
MURATURA								
TIPOLOO MURATU in lateriz	RA NORMALE <i>E</i>	MODULO DI ELASTICITA' TANGENZIALE G MPa	RESISTENZA A COMP. MPa	RESISTENZA A TR. t MPa	RESISTENZA A TAGLIO MPa	SCORRIMENTO ULTIMO g _u	DENSITA' DI MASSA kg/m³	
M. Pier	1i 2 000	350	3	0.2	0.15	0.006	1 800	
M. Fora	900	150	1.5	0.05	0.05	0.003	810	

CALCESTRUZZO ARMATO							
MODULO DI ELASTICITA' NORMALE <i>E</i> MPa	RESISTENZA CARATTERISTICA R _{ck} MPa	DEFORMAZIONE ULTIMA CALCESTRUZZO $e_{\rm cu}$	RESISTENZA ACCIAIO f _y MPa	DEFORMAZIONE ULTIMA ACCIAIO <i>e_{yu}</i>			
20 000	12	0.003	240	0.01			

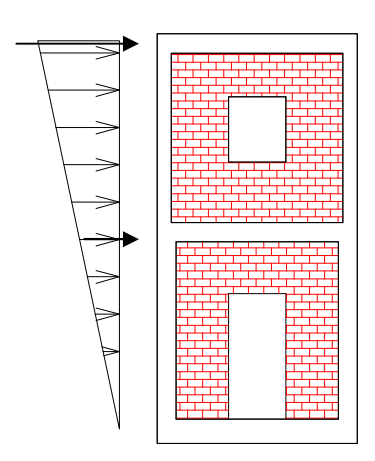
Analisi

Per ciascun modello, sono state considerate due diverse distribuzioni di forze:

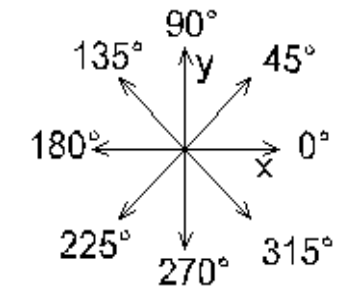
proporzionale alla massa



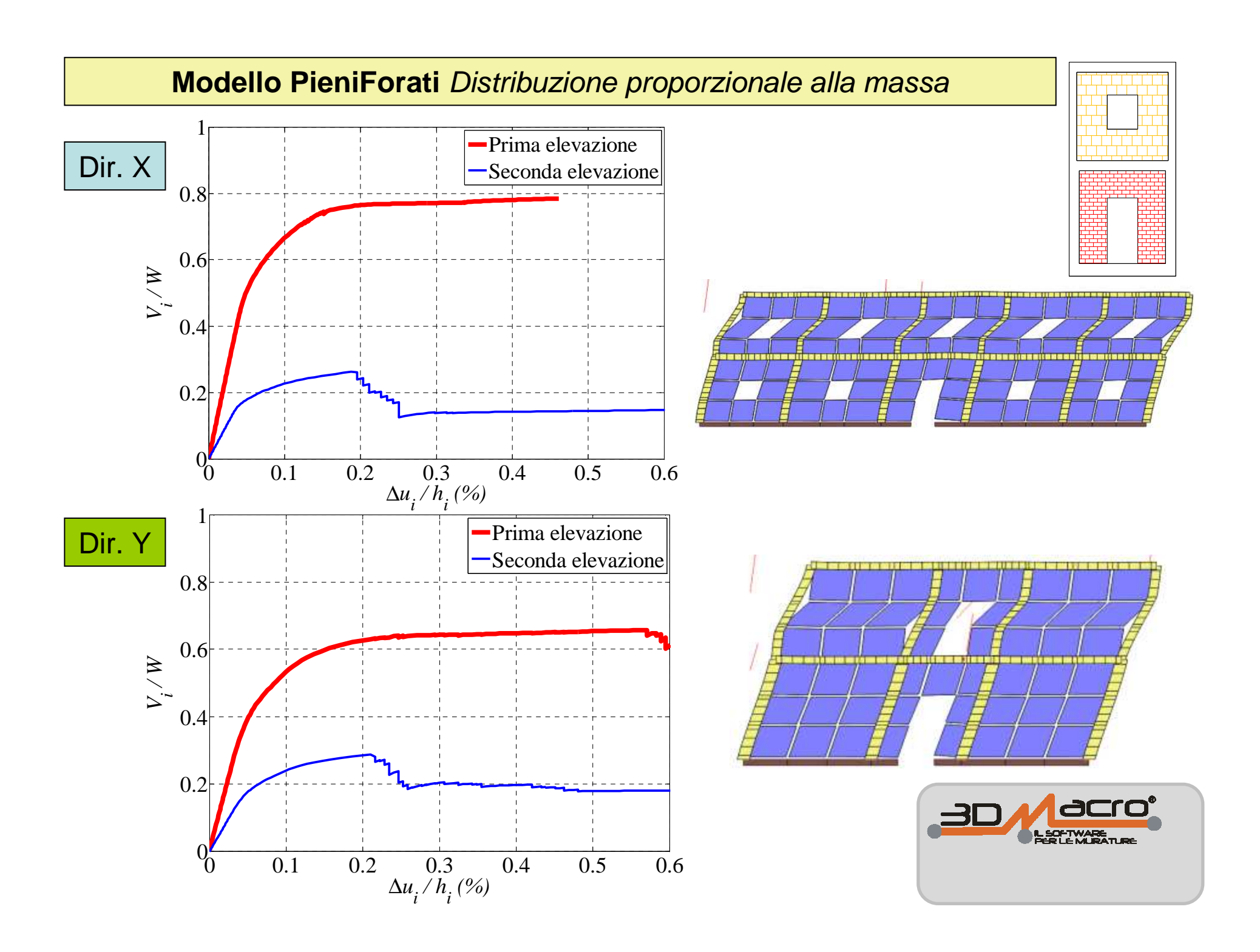
peusdo-triangolare inversa

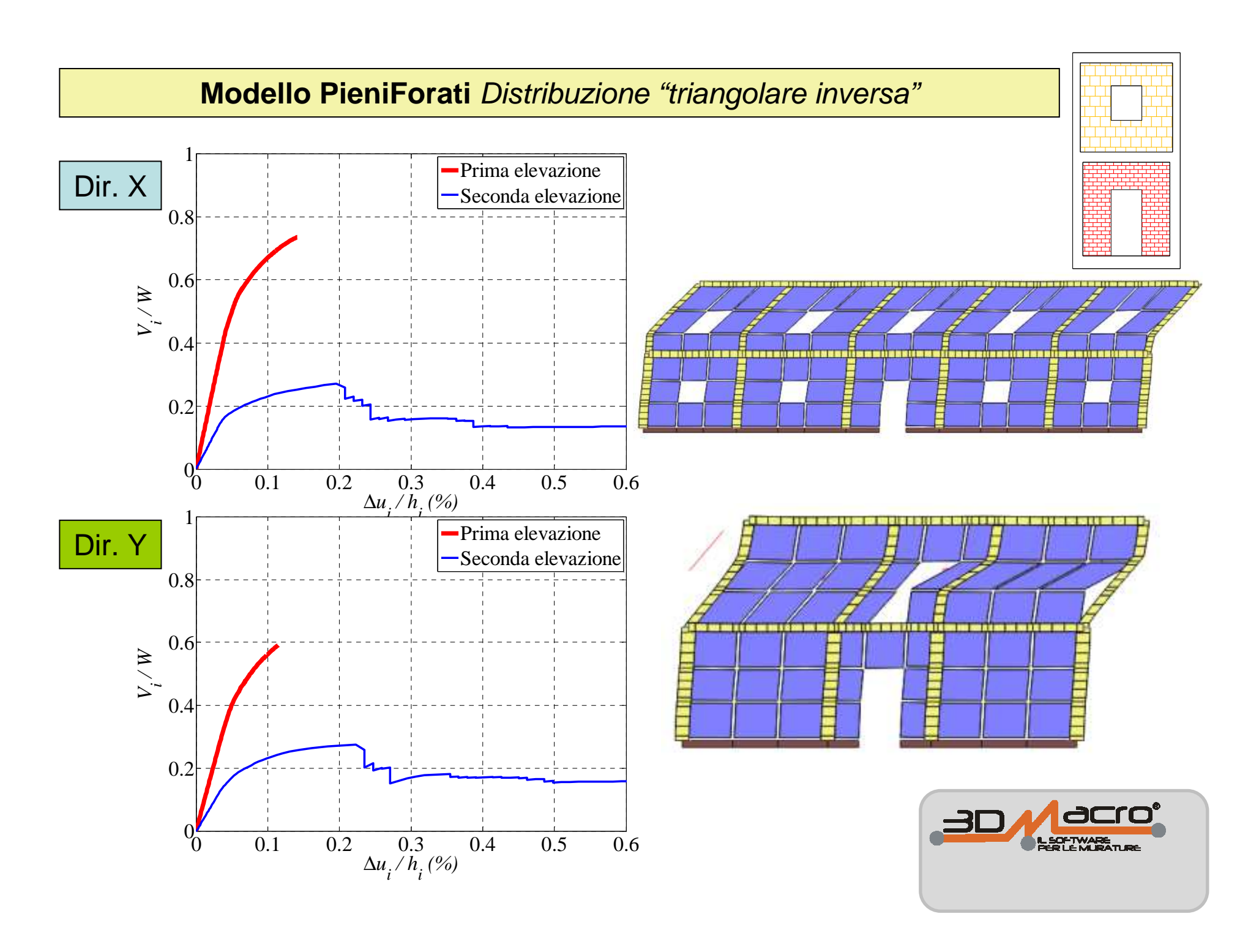


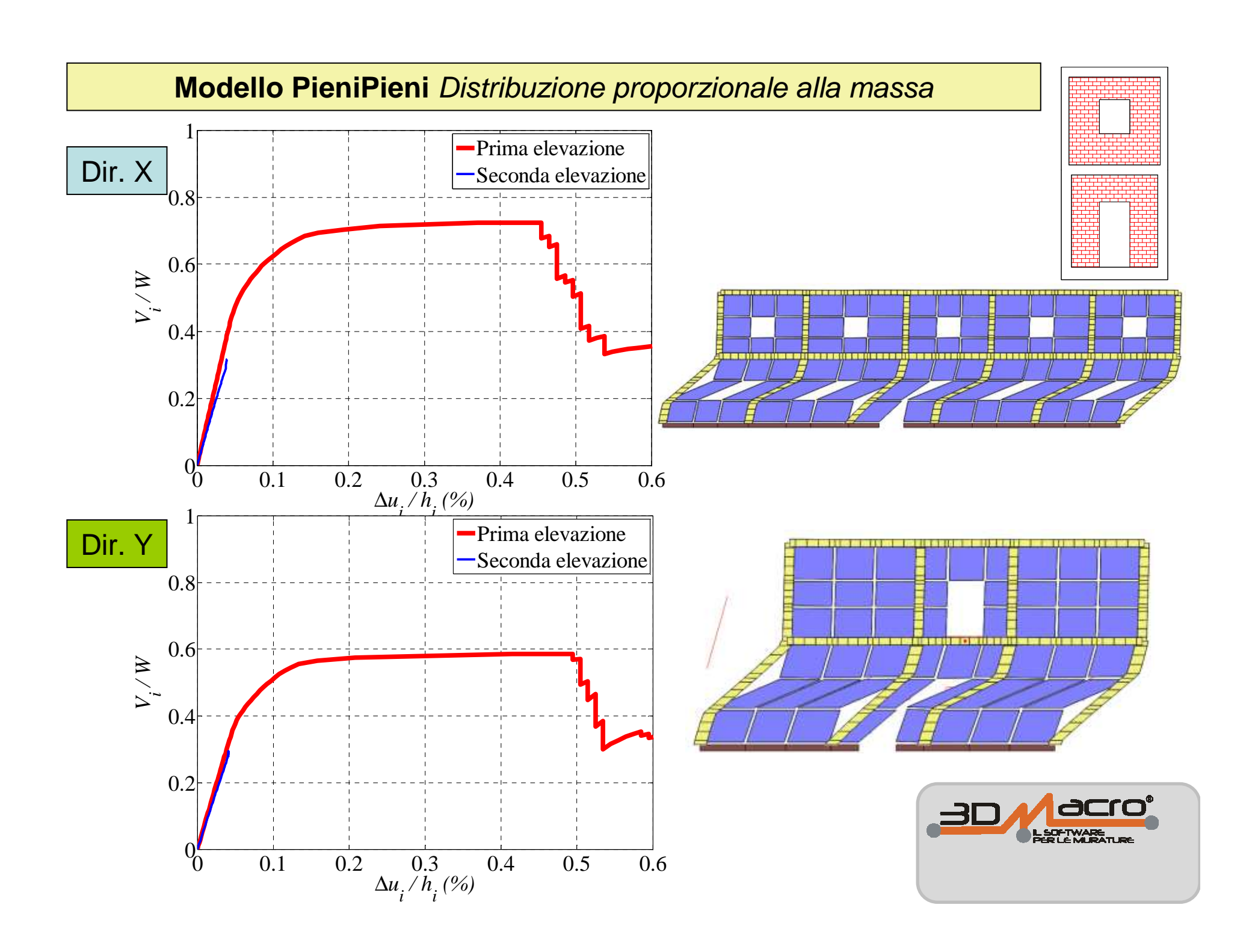
-Sono state condotte analisi sia lungo le direzioni principali dell'edificio (X e Y), sia lungo le direzioni inclinate a 45°, in entrambi i versi.





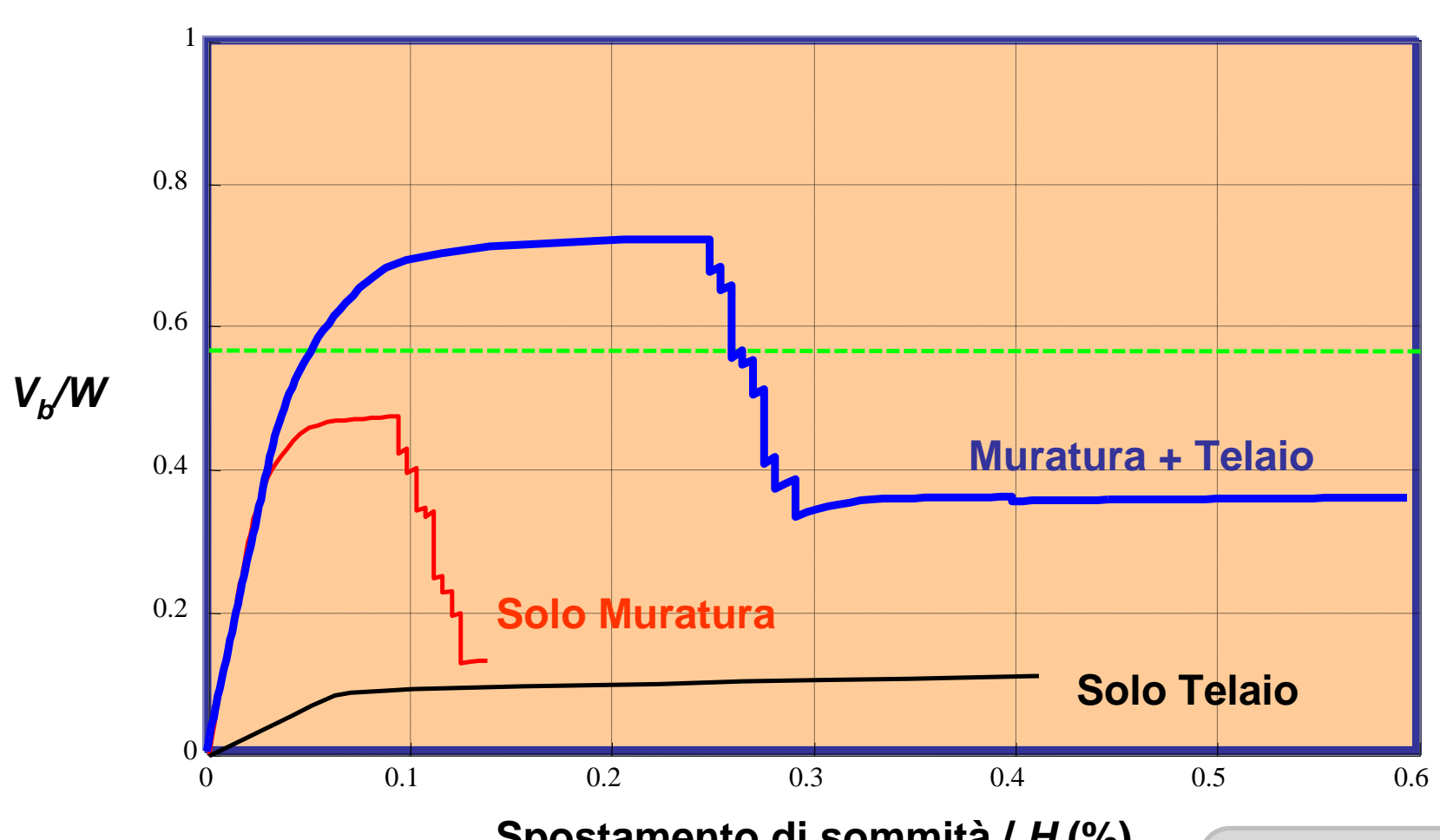






Modello PieniPieni Distribuzione "triangolare inversa" Prima elevazione Dir. X Seconda elevazione 0.8 V_i/W 0.2 $\begin{array}{c} 0.3 \\ \Delta u_i / h_i \, (\%) \end{array}$ 0.1 0.2 0.4 0.5 0.6 Dir. Y Prima elevazione Seconda elevazione 0.8 0.2 0.1 0.2 $0.3 \\ \Delta u_i / h_i (\%)$ 0.5 0.6 0.4

Influenza del confinamento sul comportamento dell'edificio Modello PienoPieno in dir X (prop. massa)

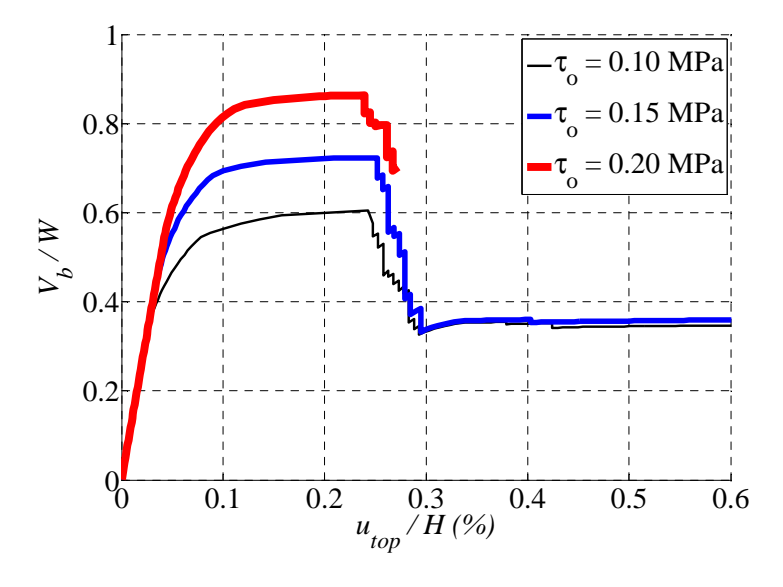


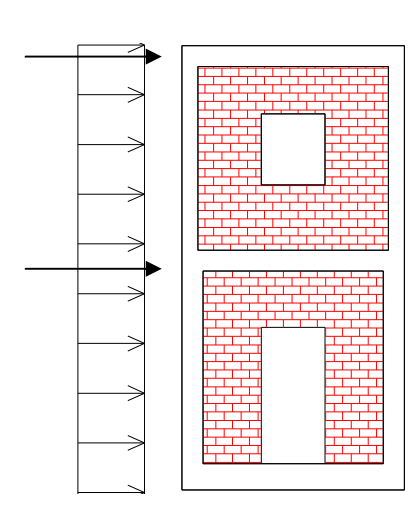
Spostamento di sommità / H (%)



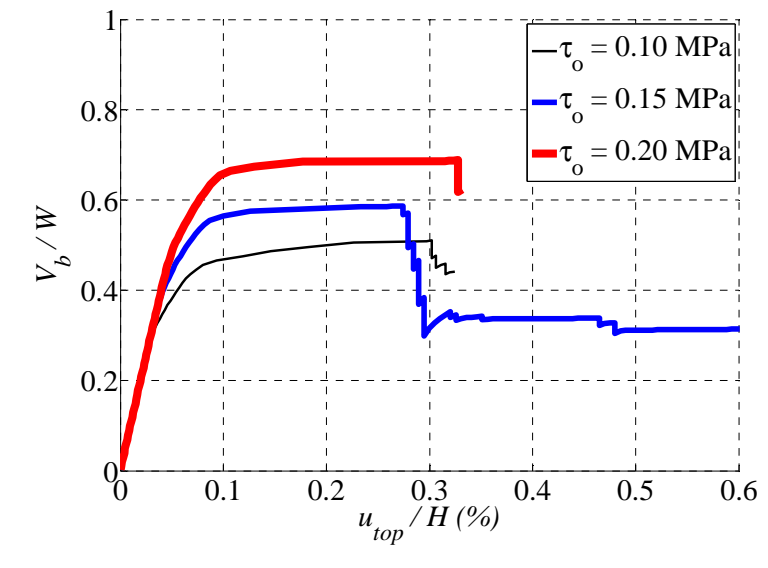
Influenza della resistenza a taglio delle murature sul comportamento dell'edificio







Dir. Y



Modello PP

Distribuzione di forze proporzionale alla massa

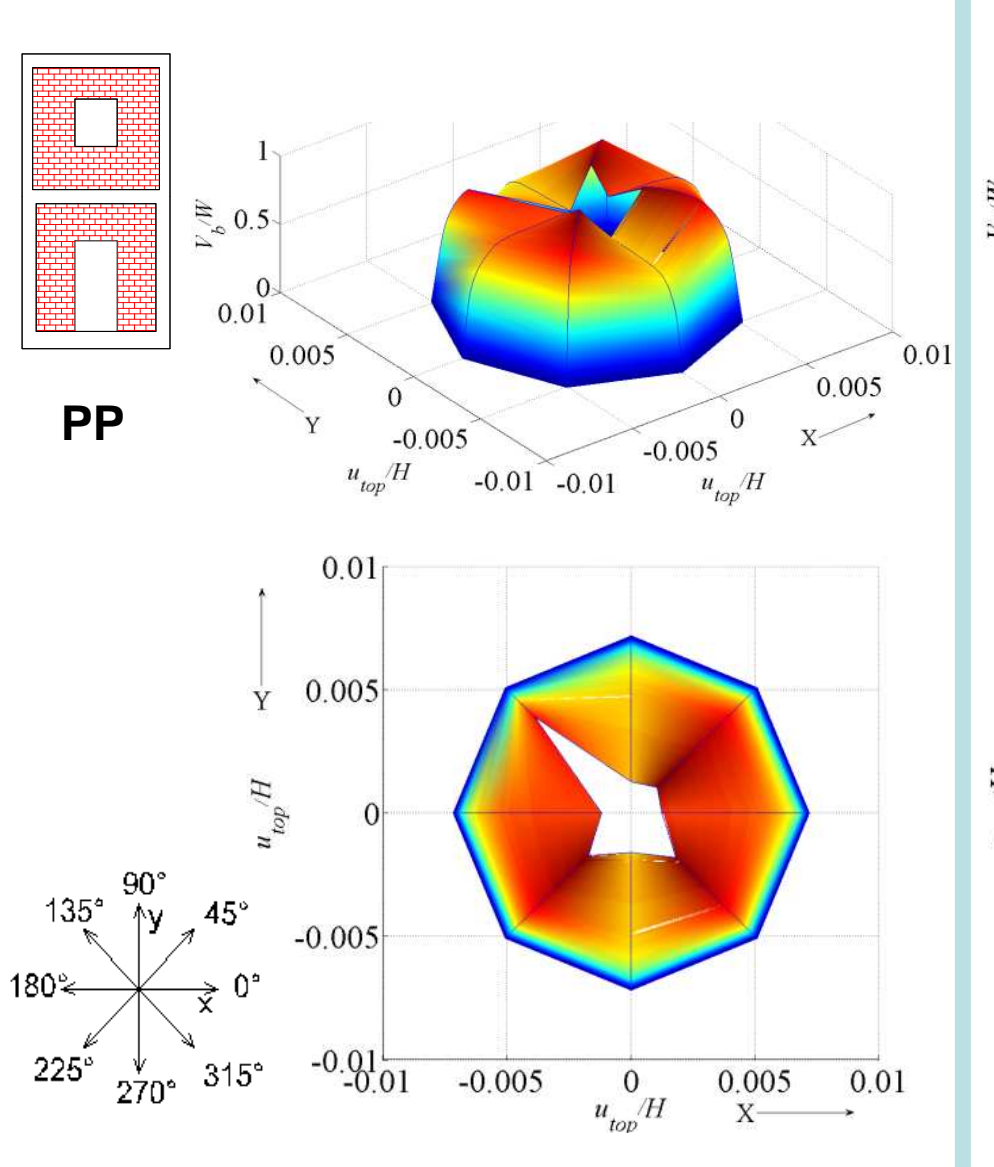
Resistenza a taglio della muratura:

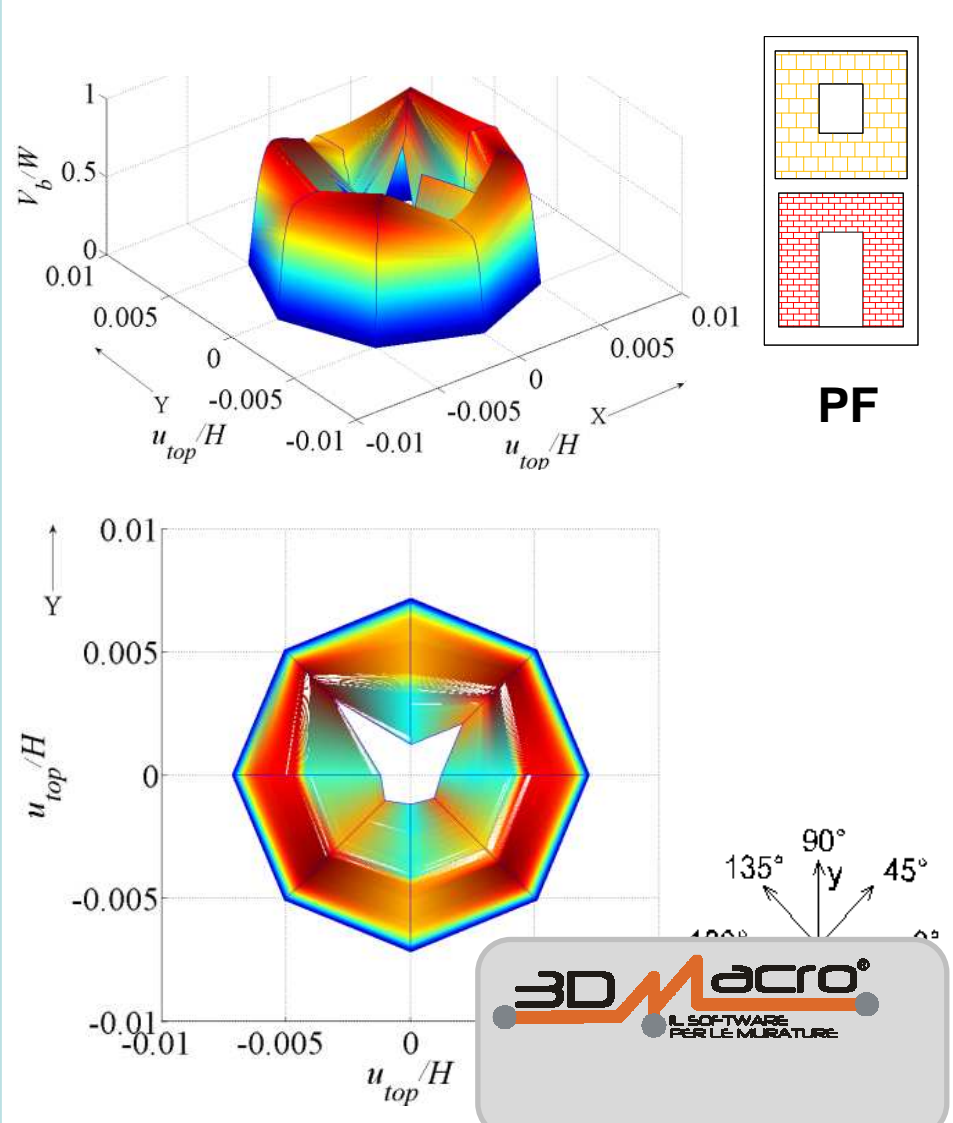
$$t_0 = 0.10, 0.15, 0.20 \text{ MPa}$$



Il capacity dominium

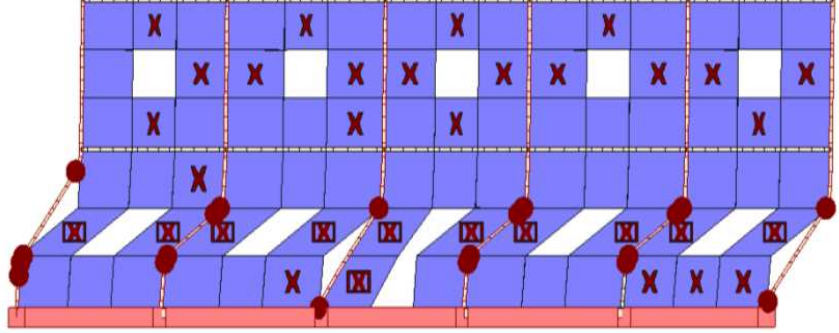
Distribuzione di forze proporzionale alla massa





Edifficio in Arattura mista

Curve di capacita (di piano) e configurazioni deformate



Direzione Y

0.2

3DMacro consente di cogliere il meccanismo di danneggiamento che (a causa del confinamento dato dal telaio) è di tipo tagliante

	U.0		Li	vello	2	-	
V_i/W	0.6		+				
	0.4		Li	vello	2	L	hom
	0.2		 	 			
	0	0.1	0.2 Δ	$\frac{0.3}{u_i/h_i(\%)}$	0.4	0.5	0.6

Livello

0.2

0.3

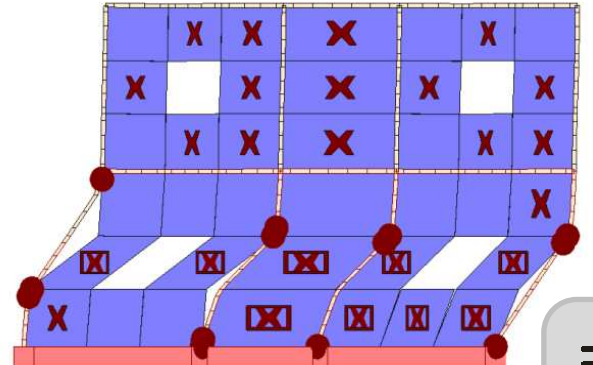
 $\Delta u_i / h_i (\%)$

0.4

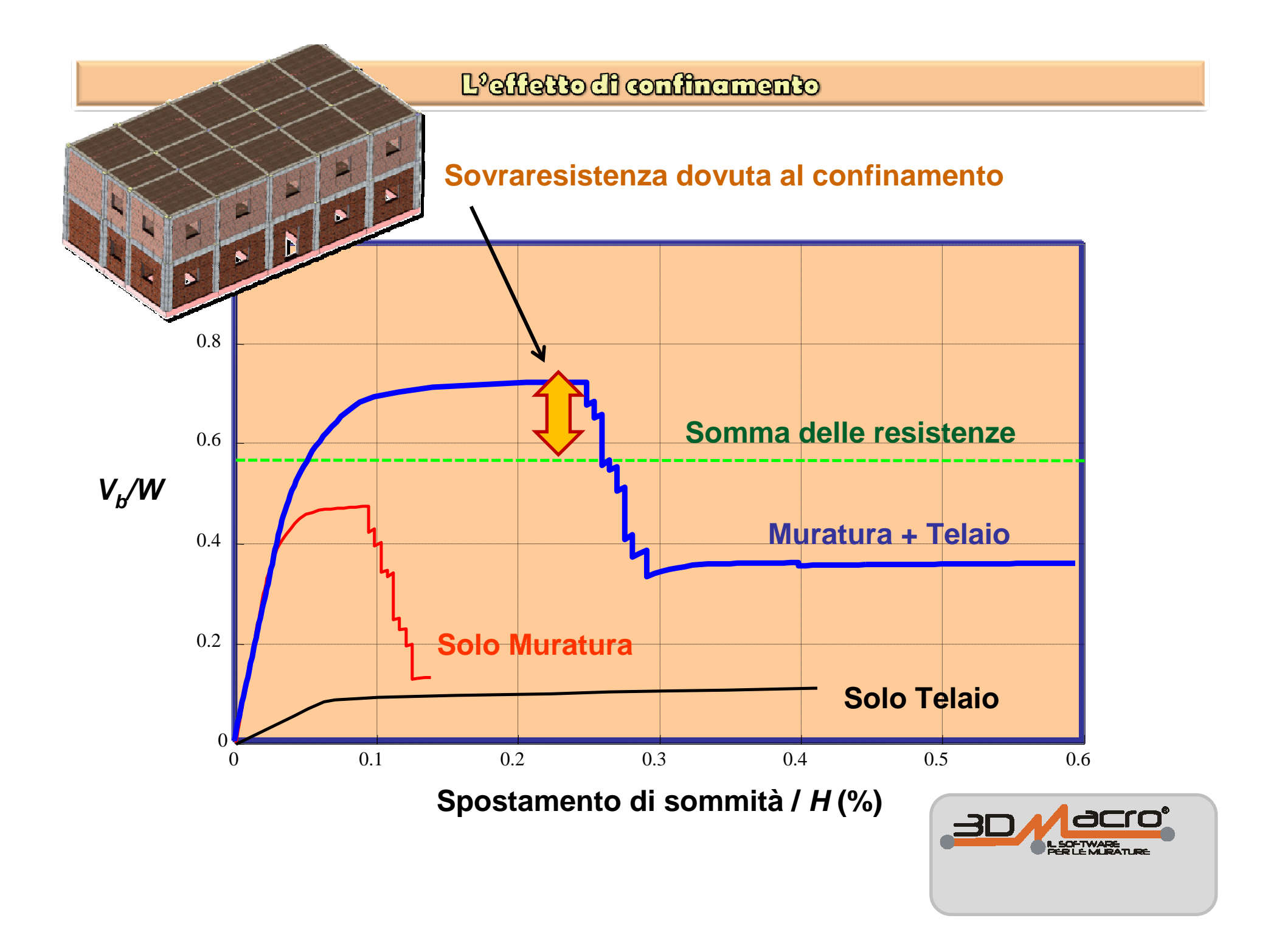
0.5

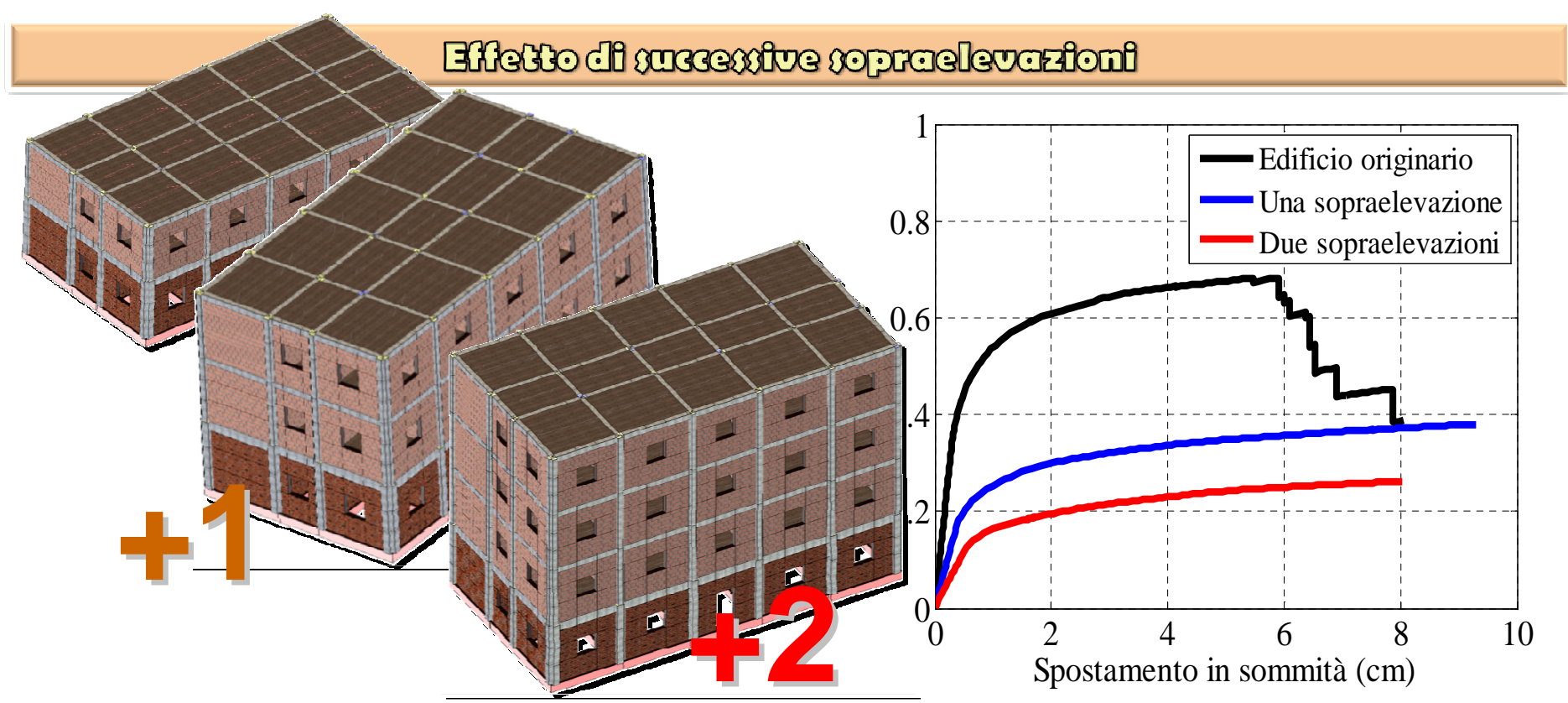
0.6

0.1





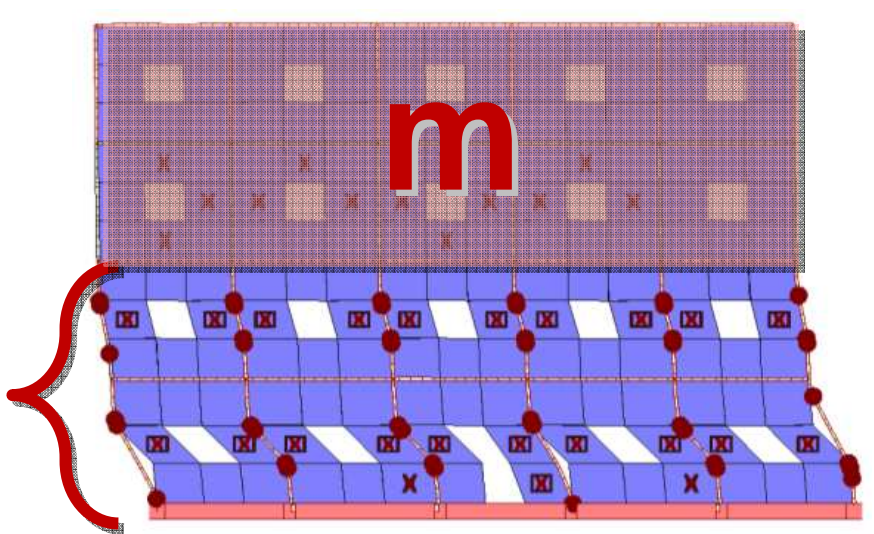




3DMacro consente di cogliere la localizzazione del danneggiamento.

Ciò consente di evidenziare il fatto che le sopraelevazioni – operate senza prevedere una gerarchia delle resistenze – aggiungono massa senza aggiungere resistenza.





II maaro-elemento

Bibliografia

I.Caliò, F. Cannizzaro, E. D'Amore, M. Marletta & B. Pantò, "Un nuovo approccio ai macro-elementi per la stima della resistenza sismica di edifici in struttura mista muratura – calcestruzzo armato: applicazioni ad un caso di studio". Convegno RELUIS - Valutazione e Riduzione della Vulnerabilità Sismica di Edifici Esistenti in C.A. Roma, 29-30 Maggio 2008.

I.Caliò, F. Cannizzaro, E. D'Amore, M. Marletta & B. Pantò, "A new discreteelement approach for the assessment of the seismic resistance of composite reinforced concrete – masonry buildings". 2008 Seismic Engineering International Conference Commemorating the 1908 Messina and Reggio Calabria Earthquake (MERCEA '08). Reggio Calabria, 8-11 Luglio 2008.

3DMacro: A 3D computer program for the seismic assessment of masonry building. Web: www.3dmacro.it.

